

ANNALES GÉOLOGIQUES DES PAYS HELLÉNIQUES  
PUBLIÉS SOUS LA DIRECTION DE G. P. MARINOS

---

K. ΣΟΛΔΑΤΟΥ και A. ΠΑΠΑΔΑΚΗ

ΣΥΜΒΟΛΗ ΕΙΣ ΤΗΝ ΜΕΛΕΤΗΝ ΤΩΝ ΑΝΑΤΟΛΙΚΩΣ  
ΤΗΣ ΞΑΝΘΗΣ ΦΛΕΒΙΚΩΝ ΗΦΑΙΣΤΕΙΑΚΩΝ ΕΜΦΑΝΙΣΕΩΝ

K. SOLDATOS UND A. PAPADAKIS  
BEITRAG ZUR KENNTNIS DER ÖSTLICH VON XANTHI VULKANISCHEN GÄNGE



A T H È N E S  
LABORATOIRE DE GÉOLOGIE DE L'UNIVERSITÉ  
46, Bd. Franklin Roosevelt

1971

ANNALES GÉOLOGIQUES DES PAYS HELLENIQUES

PUBLIÉS SOUS LA DIRECTION DE G. P. MARINOS

K. ΣΟΛΔΑΤΟΥ και A. ΠΑΠΑΔΑΚΗ

ΣΥΜΒΟΛΗ ΕΙΣ ΤΗΝ ΜΕΛΕΤΗΝ ΤΩΝ ΑΝΑΤΟΛΙΚΩΣ  
ΤΗΣ ΞΑΝΘΗΣ ΦΛΕΒΙΚΩΝ ΗΦΑΙΣΤΕΙΑΚΩΝ ΕΜΦΑΝΙΣΕΩΝ

K. SOLDATOS UND A. PAPADAKIS

BEITRAG ZUR KENNTNIS DER ÖSTLICH VON XANTHI VULKANISCHEN GÄNGE



A T H È N E S  
LABORATOIRE DE GÉOLOGIE DE L'UNIVERSITÉ  
46, Bd. Franklin Roosevelt

Ανάτυπον ἐκ τῶν «Γεωλογικῶν Χρονικῶν τῶν Ἑλληνικῶν Χωρῶν».

**23**, 1971, σ. 308 - 322.

Extrait des «Annales Géologiques des Pays Helléniques».

**23**, 1971, p. 308 - 322.

# ΣΥΜΒΟΛΗ ΕΙΣ ΤΗΝ ΜΕΛΕΤΗΝ ΤΩΝ ΑΝΑΤΟΛΙΚΩΣ ΤΗΣ ΞΑΝΘΗΣ ΦΛΕΒΙΚΩΝ ΗΦΑΙΣΤΕΙΑΚΩΝ ΕΜΦΑΝΙΣΕΩΝ

ν π ḥ

K. Σολδάτου καὶ A. Παπαδάκη \*

Μετὰ 7 εἰκόνων καὶ 5 πινάκων ἐντὸς κειμένου

## A. ΓΕΝΙΚΑ

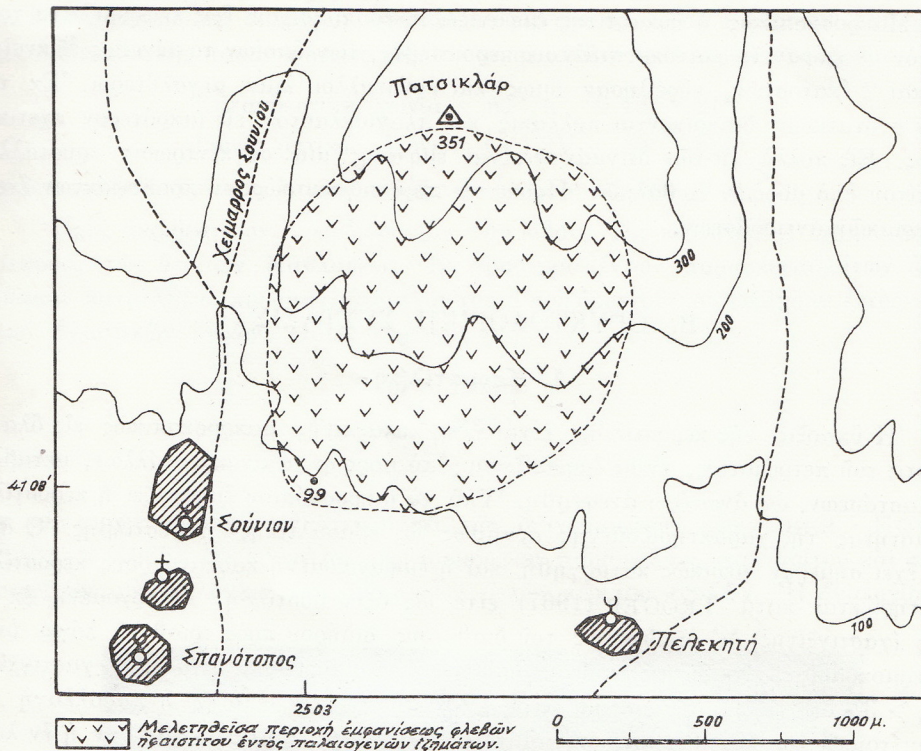
Ανατολικῶς τῆς Ξάνθης καὶ εἰς ἀπόστασιν περίπου 13 χιλιομέτρων ἐξ αὐτῆς, βορειοανατολικῶς τοῦ χωρίου Σούνιον, ἀπαντᾶται ἡφαιστειακὴ ἐμφάνισις ὑπὸ μορφὴν πυκνοῦ δελτίου φλεβῶν ἐντὸς ἵζηματογενῶν πετρώματων. Οἱ χαρακτηρισμὸι τοῦ πετρώματος ὃς ἡφαιστειακοῦ ὀφείλεται εἰς τὴν εἰκόνα, τὴν δποίαν παρουσιάζουν αἱ μικροσκοπικαὶ τομαὶ δειγμάτων αὐτοῦ. Οἱ ἴστος τοῦ πετρώματος, τυπικὸς πορφυρίτικός, μὲ δύο γενεὰς κρυσταλλώσεως, ἐξ ὧν ἡ νεωτέρα μικροκρυσταλλική, οὐδεμίᾳ ἀμφιβολίαν ἀφήνει περὶ αὐτοῦ. Προφανῶς ἡ πῆξις τοῦ μάγματος ἐντὸς τῶν φλεβῶν ἔλαβε χώραν εἰς πολὺ μικρὸν βάθος ἀπὸ τῆς ἐπιφανείας μὲ ἀποτέλεσμα τὴν διατήρησιν τῶν χαρακτηριστικῶν ἐνὸς ἡφαιστίτου, δηλαδὴ πρόκειται περὶ φλεβικῶν, ἀπὸ γεωλογικῆς ἀπόψεως, ἐμφανίσεων χαρακτηριζομένων πετρογραφικῶς ὃς ἡφαιστιτῶν.

Τὰ ἵζηματογενῆ πετρώματα, ἐντὸς τῶν δποίων διεισδύει ὁ ἡφαιστίτης, καταλαμβάνουν ἔκτασιν ἀρκετῶν τετραγωνικῶν χιλιομέτρων εἰς τὸν ἀνατολικῶς τοῦ γρανοδιούτου τῆς Ξάνθης χῶρον. (Εἶναι τὰ ἴδια ἵζηματα ἐντὸς τῶν δποίων διεισδύει καὶ ὁ ἀναφερθεὶς πλουτωνίτης). Τὰ ἵζηματα ταῦτα δὲν σημειοῦνται εἰς τὸν 1 : 500.000 γεωλογικὸν κάρτην τῆς Ἑλλάδος (I.G.E.Y., 1954). Ηἱ λικία των δὲν εἶναι μετ' ἀκριβείας γνωστή, διποσδήποτε ὅμως δὲν εἶναι ἀρχαιοτέρα τοῦ παλαιογενοῦς. Πιθανώτατα ἡ ὄλη ἡφαιστειακὴ ἐμφάνισις συνδέεται γενετικῶς μετὰ τοῦ γειτονικοῦ γρανοδιούτου τῆς Ξάνθης, τὸν δποῖον ἐμελέτησε συντόμως ὁ DIMITROW (1955) καὶ εἰς τὸν δποῖον ἀποδίδει μετὰ μεγάλης πιθανότητος μειοκαινικὴν ἡλικίαν. Γεωλογικῶς δὲν παρουσιάζονται ὑπὸ τὴν μορφὴν τῶν ἔκτεταμένων ἡφαιστειακῶν ἐκχύσεων τῆς Ροδόπης, ἀλλὰ δμοιάζουν πρὸς τὰς φλεβικὰς διεισδύσεις ἐντὸς τῶν ἵζημάτων τῆς περιοχῆς βιορείως τοῦ Ιάσμου (SOLDATOS, 1961).

Ἡ εἰκ. 1 ἀποτελεῖ σκαρίφημα τῆς μελετηθείσης περιοχῆς ἐμφανίσεως τῶν φλεβῶν.

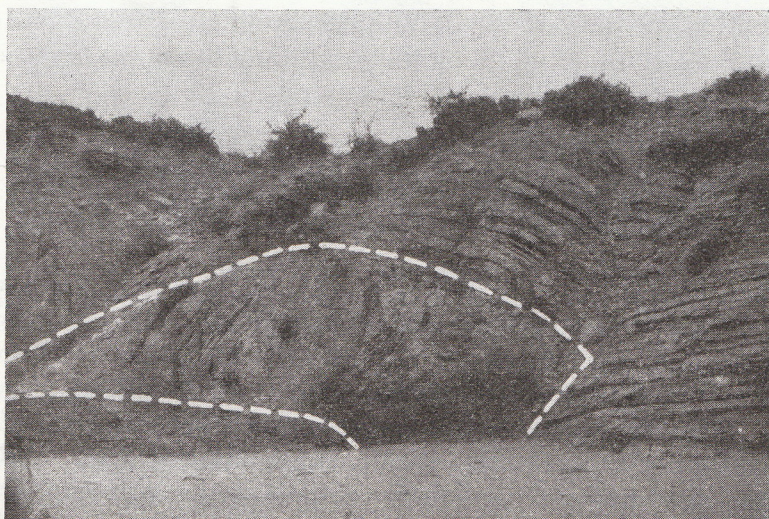
Αἱ φλέβες εἶναι σχεδὸν κατακόρυφοι ἢ ὑπὸ μικρὰν κλίσιν, ὡς πρὸς τὴν κατακόρυφον, τέμνουσαι δηλαδὴ ὑπὸ μεγάλας γωνίας τὰ σχεδὸν ὁριζόντια στρώματα τῶν

\* K. SOLDATOS und A. PAPADAKIS: Beitrag zur Kenntnis der östlich von Xanthi vulkanischen Gänge.



Εἰκ. 1.

ίζηματων. Ἐκ τῶν φλεβῶν αὐτῶν ἔχουν τροφοδοτηθῆ παρείσακτοι κοῖται μεταξὺ τῶν στρωμάτων. Εἰς μίαν περίπτωσιν ἡ διείσδυσις τοῦ μάγματος μεταξὺ τούτων λαμβάνει χαρακτηριστικὴν μορφὴν λακκολίθου σχετικῶς μικρῶν διαστάσεων (Εἰκ. 2).



Εἰκ. 2. Διείσδυσις τοῦ μάγματος ὑπὸ μορφὴν μικροῦ λακκολίθου έντος τῶν ίζηματογενῶν στρωμάτων. Διακρίνεται χαρακτηριστικῶς ἡ ἀνύψωσις καὶ κύρτωσις αὐτῶν.

Μακροσκοπικῶς ὁ ἡφαιστίτης ἐμφανίζει τεφροπράσινον ἔως τεφρομέλανα χρωματισμὸν μὲ ἐμφανεῖς φαινοκρυστάλλους κεροστίλβης, τῶν δποίων τὸ μέγεθος ἔξικνεῖται μέχρι καὶ 2 ἑκατοστῶν, εὐρέμησαν δικαὶος καὶ κρύσταλλοι λίαν μεγαλύτεροι. Ἐκ τῶν λοιπῶν συστατικῶν διακρίνονται πολλάκις καὶ πλαγιόκλαστα, εἰς μικρότερον σχετικῶς μέγεθος. Εἰς πολλὰ ἐκ τῶν δειγμάτων εἶναι ἐμφανῆς μία συγκέντρωσις κρυστάλλων ἀσβεστίτου ὑπὸ μορφὴν ὀφθαλμῶν. Πρόκειται περὶ συγκεντρώσεων προκυψάντων ἔνεκα ὑδροθερμικῶν ἀντιδράσεων.

## B. ΟΡΥΚΤΟΛΟΓΙΚΗ ΣΥΣΤΑΣΙΣ

### 1. Κεροστίλβη.

Ἡ ὑπαρξίας τῆς κεροστίλβης εἶναι ἥδη καταφανῆς μακροσκοπικῶς εἰς ὅλα τὰ δείγματα τοῦ πετρώματος, ἔνθα ἐμφανίζεται ὑπὸ μορφὴν φαινοκρυστάλλων, μεταβλητῶν διαστάσεων, ὡς ἀνωτέρῳ ἀνεφέρθη. Ὅπο τὸ μικροσκόπιον ἐμφανίζει ἡ κεροστίλβη τὰς Ἰδιότητας τῆς χαρακτηριζομένης συνήθως ὡς «βασαλτικῆς» κεροστίλβης. Ὁ ὅρος οὗτος ἔχει σίμερον μερικῶς καταργηθῆ καὶ ἡ ἐμφανίζομένη καστανόχρως κεροστίλβη χαρακτηρίζεται κατὰ TRÖGER (1967) εἴτε ὡς ὀξυκροστίλβη, προερχομένη ἐκ τῆς κοινῆς (χαστιγξίτης) δι' ὀξειδώσεως τοῦ δισθενοῦς σιδήρου πρὸς τρισθενῆ λόγῳ ὑψηλῆς θερμοκρασίας, εἴτε ὡς τιτανιοῦχος ἰσόμορφος παραμειξις παραγασίτου - χαστιγξίτου ( $TiO_2 > 3 - 5 \%$ ). Ὡς βασαλτικὴ κεροστίλβη ἀναφέρεται ἐπίσης ἡ παραλλαγὴ τοῦ κερσούτιτου, δστις συνήθως περιέχει  $TiO_2 > 5 \%$ , εἰς περίπτωσιν καθ' ἥν ἡ ἐν λόγῳ περιεκτικότης κατέλθει κάτω τοῦ ἐν λόγῳ δρίου, ὡς συμβαίνει μὲ τὴν κεροστίλβην τὴν συναντωμένην ἐντὸς τεφριτῶν, βασανιτῶν, ἀλκαλιβασαλτῶν ἀκόμη καὶ ἐσσεξιτῶν. Εἰς τὴν ὑπὸ μελέτην περίπτωσιν, αἱ μετὰ μεγάλης ἀκριβείας μετρηθεῖσαι δπτικαὶ σταθεραὶ τοῦ ὀρυκτοῦ, ἐν συνδυασμῷ μὲ τὰ χρώματα αὐτοῦ, ἀποδεικνύουν ὅτι πρόκειται περὶ τιτανιούχου ἰσομόρφου παραμειξεως παραγασίτου - χαστιγξίτου.

Ἡ μορφὴ, ὑπὸ τὴν δποίαν ἀπαντοῦν οἱ κρύσταλλοι, εἶναι ἡ συνήθης μακροπριματική, μὲ ἐπικρατεστέρας τὰς ἔδρας (110) καὶ (010). Παρουσιάζει τέλειον σχισμὸν κατὰ (110) καὶ σαφῆ ἀποχωρισμὸν κατὰ (001). Διδυμίαν ἐμφανίζει συχνὴν κατὰ (100), ἐπίσης καὶ πολυδυμίαν. Ὁ πλεοχροϊσμὸς δίδει :

$n_{\alpha}$  = ἀνοικτὸν καστανοκίτρινον

$n_{\beta}$  = καστανὸν ἔως καστανοκίτρινον

$n_{\gamma}$  = καστανὸν ἔως καστανοπράσινον.

Ἐνίστε παρατηρεῖται ὑ.τ.μ. ἐλαφρὰ ζωνώδης δομὴ μὲ μεταβολὴν ἐντάσεως τῶν χρωμάτων καὶ τῆς διπλοθλαστικότητος τοῦ ὀρυκτοῦ. Τὸ φαινόμενον δὲν προχωρεῖ σταθερῶς ἐκ τοῦ πυρῆνος πρὸς τὴν περιφέρειαν, ἀλλὰ παρουσιάζει ἀρκετὰς ἐπαναστροφάς. Δεδομένου ὅτι τὸ φαινόμενον συνοδεύεται καὶ ὑπὸ αἰσθητῆς μεταβολῆς τῆς κατασθετικῆς γωνίας, ἡ δποία ἐλαττοῦται εἰς τὰς μὲ ἐντονώτερον χρῶμα καὶ ἐντονωτέρων διπλοθλαστικότητα ζώνας, θὰ πρέπει νὰ ἀποδοθῇ εἰς μερικὴν ἀρχομένην ὀξείδωσιν κατὰ τὰς διαδοχικὰς κρυσταλλώσεις τῶν ἐκάστοτε σχηματιζομένων φλοιῶν, διάφορον κατὰ τὰς διαφόρους ζώνας, κατὰ τὴν ἔννοιαν τῆς ὀξυκροστίλβης. Ἐγκλείσματα ἀπαντῶνται πλαγιοκλάστων, ἀπατίτου, μαγνητίτου καὶ σπανιώτερον αὐγίτου. Ἐνίστε ἐμφανίζονται, λόγῳ βαρύτητος ἡ οευμάτων, συγκεντρώσεις πολλῶν κρυστάλλων τοῦ ὀρυκτοῦ, οἱ δποῖοι

έφαπτονται μὲ τυχαῖον προσανατολισμόν, δημιουργούμενων οὕτω ἐνδογενῶν ἐγκλεισμάτων. Βάσει μετρήσεων διαφόρων κρυστάλλων εἰς τὴν τράπεζαν Fedorow καὶ εἰς διάταξιν δρυσικοπικῆς παρατηρήσεως εὑρέθησαν αἱ ἀκόλουθοι ὀπτικαὶ σταθεραί :

Κατασβεστικὴ γωνία  $n_\gamma : c = 18^\circ - 21^\circ$

Γωνία ὀπτικῶν ἀξόνων  $(-) 2V = 85^\circ - 88^\circ$ .

Διακρίνεται ἀσθενέστατος διασκεδασμὸς τῶν ὀπτικῶν ἀξόνων μὲ φ  $\gtrsim v$ .

Πρὸς ἀκριβέστερον προσδιορισμὸν τοῦ εἴδους τῆς κεροστίλβης ἐχοησιμοποιήθη ἡ μέθοδος τῶν δεικτῶν διαθλάσεως. Ἐκ προθεμαθέντων παρασκευασμάτων ἀπεχωρίσθησαν καταλλήλως προσανατολισμέναι τομαὶ τοῦ ὀρυκτοῦ καὶ ἐτέθησαν ἐντὸς καταλήλων θλαστικῶν ὑγρῶν. Οὕτω εὑρέθη :

$$n_a = 1,656$$

$$n_\gamma = 1,674$$

$$\text{ἵτοι } n_\gamma - n_a = 0,018.$$

Ἐκ τῶν τιμῶν αὐτῶν προκύπτει, βάσει τῶν διαγραμμάτων τῶν DEER - HOWIE - ZUSSMAN (1963), ὅτι πρόκειται περὶ ἴσομόρφου παραμείξεως παραγασίτου καὶ σιδηροχαστιγξίτου μὲ ἀναλογίαν τῶν δύο ἄκρων μελῶν περίπου 68 : 32. Ἡ ἀναλογία αὗτη

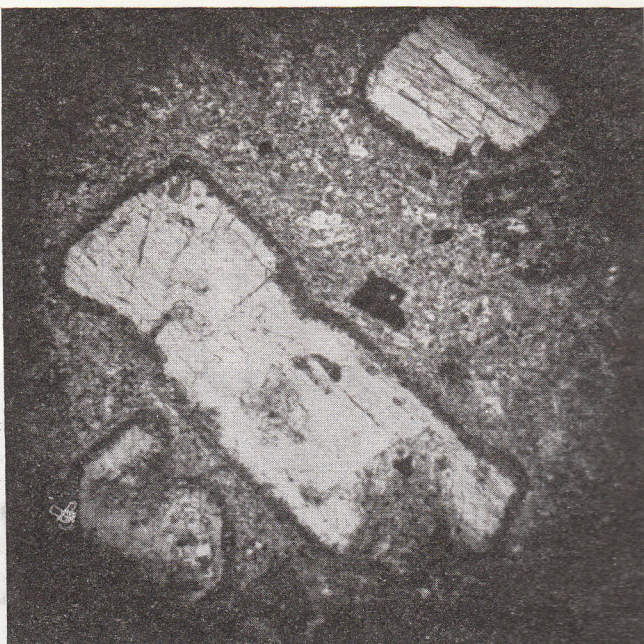


Εἰκ. 3. Ἐκτόπισις φαινοκρυστάλλου κεροστίλβης ὑπὸ ἀσβεστίτου. Ὑπολείμματα αὐτῆς, συνδεόμενα μετὰ τοῦ κυρίου σώματος τοῦ κρυστάλλου, διακρίνονται ἐντὸς τοῦ ἀσβεστίτου εἰς τὴν ἐπαφὴν τῶν δύο ὀρυκτῶν. (Μεγ. 50 X μετὰ ἀναλυτοῦ).

ἐπαληθεύεται χαρακτηριστικῶς ἐπὶ τῆς σχετικῆς καμπύλης καὶ διὰ τῆς εὑρεθείσης γωνίας τῶν ὀπτικῶν ἀξόνων ( $85^\circ - 88^\circ$ ) (βλ. ἀνωτέρω). Λαμβανομένων δὲ ὑπὸ ὅψιν καὶ τῶν χρωμάτων πλεοχροϊσμοῦ δύναται νὰ χαρακτηρισθῇ ἡ ἐν λόγῳ κεροστίλβη ὡς τιτανιούχος παραλλαγὴ τῶν ἀνωτέρων μελῶν, ὡς ἐν ἀρχῇ ἀνεφέρθη.

Δευτέρᾳ γενεὰ κρυσταλλώσεως κεροστίλβης δὲν παρατηρεῖται. Εἰκάζεται ὅμως, ὅτι τὰ ἐντὸς τῆς ἀφανιτικῆς μάζης ἐγκατεσπαρμένα τεμαχίδια χλωρίτου ἀποτελοῦν

προϊὸν ἀλλοιώσεως προϋπαρχούσης δευτέρας γενεᾶς τοῦ ὁρυκτοῦ. Τοιαῦτα φαινόμενα μετασωματώσεως λόγῳ ἐπιδράσεως διαλυμάτων εἶναι ἰδιαιτέρως ἔντονα καὶ ἐμελετήθησαν προσεκτικῶς εἰς τὸν φαινοκρυστάλλους, δηλαδὴ τὰ δείγματα τῆς πρώτης γενεᾶς τοῦ ὁρυκτοῦ. Ἐκ τῶν παρατηρήσεων αὐτῶν προέκυψεν, ὅτι μετὰ τὸ πέρας καὶ τῶν δύο γενεῶν κρυσταλλώσεως τὸ πέτρωμα διεποτίσθη ὑπὸ ὑδροθερμικῶν διαλυμάτων. Τὰ διαλύματα ταῦτα προσέβαλον τὸν κρυστάλλους τῆς κεροστίλβης, εἰσέδυσαν ἐντὸς αὐτῶν προχωροῦντα κατὰ μῆκος τοῦ σχισμοῦ, μετατρέψαντα αὐτὸὺς εἰς χλωρίτην, ἐπίδοτον καὶ ἀσβεστίτην. Οὕτω παρατηροῦνται τοιαὶ ἐν μέρει ἡ ἐν ὅλῳ χλωριτωμέναι μὲ



Εἰκ. 4. Κρύσταλλοι κεροστίλβης ὑποστάντες μαγματικὴν διάβρωσιν καὶ ὀπακιτίωσιν.  
(Μεγ. 20 X ἄνευ ἀναλυτοῦ).

συνύπαρξιν ἀσβεστίτου ἡ ἀκόμη ἀποτελούμεναι ἀποκλειστικῶς ἀπὸ συσσωματώματα ἀσβεστίτου μετὰ ὀλίγου χαλαζίου εἰς ψευδομορφώσεις κατὰ κεροστίλβην. Σπανίως εἰς τὴν ἐπαφὴν ἀσβεστίτου - κεροστίλβης φαίνεται χαρακτηριστικῶς ἡ ἐκτόπισις τοῦ δευτέρου ὁρυκτοῦ ὑπὸ τοῦ πρώτου, ἀπολειπομένων τελικῶς ἐντὸς τοῦ ἐν ἐπαφῇ ἀσβεστίτου νηματοειδῶν ὑπολειμμάτων κεροστίλβης, συνδεομένων μετὰ τοῦ κυρίου σώματος τοῦ κρυστάλλου αὐτῆς παραλλήλως πρὸς τὸν ἄξονα c (Εἰκ. 3).

Εἴς τινας σπανίας περιπτώσεις παρετηρήθη εἰς τὴν περιφέρειαν τοῦ ὁρυκτοῦ ὀπακιτίωσις, ἥτοι μετατροπὴ τημάτων αὐτοῦ εἰς συσσωμάτωμα κόκκων μαγνητίτου καὶ αὐγίτου. Τὸ φαινόμενον αὐτό, ὀφειλόμενον εἰς ἄλλαγὴν τῶν φυσικοχημικῶν συνθηκῶν (πτῶσις πιέσεως - ἀποβολὴ ὕδατος) κατὰ τὴν ἄνοδον τοῦ μάγματος εἶναι σύνηθες εἰς ἥφαιστειακὰ πετρώματα καὶ δὲν ἔχει σχέσιν μὲ τὰ περιγραφέντα φαινόμενα μετασωματώσεως, τῶν διοίων ἔχει προηγηθῆ, ἐνῷ εἰς περίπτωσιν συγχρόνου ἐμφανίσεως ὀπακιτιώσεως καὶ μαγματικῆς διαβρώσεως ἡ πρώτη ἔπειται τῆς δευτέρας (Εἰκ. 4).

## 2. Αύγιτης.

Απαντάται εἰς μικροτέραν ἀναλογίαν ἐν σχέσει μὲ τὴν κεροστίλβην, ἐμφανιζόμενος εἰς δύο γενεὰς κρυσταλλώσεως. Ἡ πρώτη, τῶν φαινοκρυστάλλων, δίδει μεγέθη μεταξὺ 1 - 2,5 χιλιοστομέτρων (ἄξων c), ἡ δευτέρα. τῆς ἀφανιτικῆς μάζης, κάτω τῶν 0,2 χιλιοστομέτρων.

Ἡ περιβολὴ τῶν κρυστάλλων τῆς πρώτης γενεᾶς ἀποτελεῖται ἀπὸ τὰς ἔδρας (100), (010) καὶ (110) σχεδὸν ἐξ ἵσου ἀνεπτυγμένας. Εἰς ὁρισμένας περιπτώσεις ἡ μορφὴ εἶναι πλακώδης κατὰ (100). Δίδυμοι ἀπαντῶνται ἀρκετὰ συχνὰ κατὰ τοὺς γνωστοὺς νόμους (122), (001) καὶ (100), ἐνῷ κατὰ (101) δὲν παρετηρήθησαν. Πολύδυμοι ἐμφανίζονται συχνάκις. Ἐγκλείσματα, μᾶλλον σπάνια, ἀποτελοῦνται ἀπὸ μαγνητίτην, ἀπατίην καὶ σπανιώτερον πλαγιόκλαστα. Ζωνώδης δομὴ λίαν σπανία. Συσσωρεύσεις κρυστάλλων αὐγίτου ἐντὸς ἐνδογενῶν ἐγκλείσμάτων τοῦ πετρώματος ἐμφανίζονται καὶ ἐνταῦθα, ὡς καὶ εἰς τὴν κεροστίλβην.

Αἱ δόπτικαὶ σταθεραὶ τοῦ αὐγίτου προσδιωρίσθησαν διὰ μετρήσεων ἐπὶ τῆς τραπέζης Fedorow εἰς δρυμοσκοπικὴν ἐξέτασιν. Οὕτω γενομένης καὶ τῆς σχετικῆς διορθώσεως, λόγῳ διαφορᾶς δεικτῶν διαμλάσεως ἡμισφαιρίων καὶ δρυκτοῦ, ἔχομεν :

$$2V = 50^\circ$$
$$n_\gamma : c = 41^\circ$$

Ο διασκεδασμὸς τῶν δόπτικῶν ἀξόνων ἐμελετήθη ἐπὶ κωνοσκοπικῶν εἰκόνων μετὰ προηγουμένην ἐξακρίβωσιν τῆς θέσεως τοῦ μελετουμένου ἀξονος ἐντὸς τοῦ κρυστάλλου καὶ τοῦ εἶδοντος αὐτοῦ. Οὕτω ενδέθη :

Οπτικὸς ἄξων A  $\rho > v$  ἀσθενής

Οπτικὸς ἄξων B  $\rho > v$  κατά τι ἰσχυρότερος.

Χαρακτηριστικῶς ἀναφέρεται ἐνταῦθα, ὅτι ἡ διαφορὰ διασκεδασμοῦ διὰ τοὺς δύο δόπτικοὺς ἀξονας τοῦ αὐγίτου, ὡς καὶ ἡ τιμὴ τῆς γωνίας 2V, ἔρχονται ἐν συμφωνίᾳ μετὰ ἀντιστοίχου κρυστάλλου αὐγίτου περιεχομένου ἐντὸς δολερίτου τῆς Ροδόπης (SOLDATOS, 1961) (βλέπε περαιτέρω καὶ σύμπτωσιν χημισμοῦ). Ἐξ ὅλων τῶν ἀνωτέρω δεδομένων προκύπτει, ὅτι πρόκειται περὶ κοινοῦ αὐγίτου. Ἡ ἐπίδρασις τῶν ὑδροθερμικῶν διαλυμάτων, μετὰ τὸ πέρας τῆς κρυσταλλώσεως, ἐπὶ τοῦ αὐγίτου εἶχεν ὡς ἀποτέλεσμα τὴν προσβολὴν μερικῶν ἐξ αὐτῶν καὶ τὴν μετατροπὴν των εἰς συσσωματώματα κρυστάλλων ἀσβεστίτου καὶ χαλαζίου.

## 3. Πλαγιόκλαστα.

Αποτελοῦν τὸ μόνον εἶδος ἀστρίων εἰς τὸ ὑπὸ μελέτην πέτρωμα. Απαντῶνται καὶ εἰς τὰς δύο φάσεις κρυσταλλώσεως τοῦ μάγματος, δηλαδή, τόσον ὡς φαινοκρυσταλλοὶ ὅσον καὶ ὡς μικρόλιθοι ἐντὸς τῆς ἀφανιτικῆς μάζης. Εἰς τὴν πρώτην περίπτωσιν οἱ κρύσταλλοι τῶν πλαγιοκλάστων ἔχουν μέγεθος 2 - 3 χιλιοστομέτρων, κατὰ τὴν μεγαλύτεραν αὐτῶν διάστασιν, σχήματος συνήμως πλακώδους, καὶ εἶναι πολλάκις ὁρατοὶ διὰ γυμνοῦ ὁφθαλμοῦ.

Ἡ ἐξέτασις διὰ τοῦ μικροσκοπίου δεικνύει, ὅτι πρόκειται περὶ πολυδύμων, ἐνίστε πολυπλόκων κατὰ διαφόρους νόμους, καὶ ἐλαφρῶς ζωνωδῶν κρυστάλλων. Ἡ διαφορὰ

συστάσεως ὅμως μεταξὺ πυροήνος καὶ περιφερείας δὲν εἶναι σημαντική· ἐπαναστροφαὶ ζωνῶν οὐδέποτε παρετηρήθησαν. Ὁ σχισμὸς (001) εἶναι τέλειος καὶ ὁ (010) πολὺ καλός. Ἐπίσης πολλάκις παρετηρήθη καὶ ὁ σχισμός (110), μᾶλλον ἀτελῆς. Ἔγκλεισματα ἄλλων δρυκτῶν σπανιώτατα.

Ἡ διὰ τῆς τραπέζης Fedorow ἔξετασις τῶν φαινοκυսτάλλων τῶν πλαγιοκλάστων δι’ ἀποτιμήσεως τῶν σχετικῶν δεδομένων πολλῶν μετρήσεων, βάσει τῶν γωνιῶν Euler καὶ τῶν σχετικῶν καμπυλῶν κατὰ BURRI - PARKER - WENK (1967) δεικνύει, ὅτι ἡ μὲν γωνία τῶν διπτικῶν ἀξόνων εἶναι περίπου ( $-$ )  $2V = 86^\circ$ , ἡ δὲ περιεκτικότης εἰς ἀνορθίην περίπου  $80\%$ . Απ. (βυτωβνίτης). Ἐκ τῶν διδυμιῶν ἐπικρατέστεραι εἶναι αἱ κατὰ Karlshbad, Albit καὶ Albit - Karlshbad. Οἱ μικρολιθοὶ τῆς ἀφανιτικῆς μάζης, ὡς δεικνύεται διὰ τῆς στατιστικῆς μεθόδου ἐπὶ διδύμων κατὰ τὸν ἀλβιτικὸν νόμον, εἶναι δξινώτεροι τῶν φαινοκυսτάλλων μὲν  $65\%$ . Απ. περίπου (λαβροδόριον). Πολλοὶ ἐκ τῶν φαινοκυսτάλλων τῶν πλαγιοκλάστων ἐμφανίζονται κεκαμμένοι, λόγῳ ἔξασκήσεως πιέσεως ὑπὸ τοῦ μάγματος. Τὰ πλαγιόκλαστα πολλάκις εἶναι ἡλλοιωμένα, κυρίως εἰς σερικίτην, λόγῳ ἐπιδράσεως ὑδροθερμικῶν διαλυμάτων.

#### 4. Ἀσβεστίτης.

Προέρχεται ἐκ τῆς μετασωματικῆς ἐπιδράσεως διαλυμάτων ἐπὶ ὠρισμένων φλεβῶν τοῦ πετρώματος, καθ’ ἣν ἐσχηματίσθησαν φωλεαὶ ἀσβεστίτου συχνάκις μετὰ χαλαζίου. Αἱ φωλεαὶ αὗται ἔχουν σχῆμα ἐλλειψοειδὲς μεγέθους μεγάλου ἀξονος 1 - 6 ἑκατοστομέτρων καὶ εἶναι σαφέστατα ἀντιληπταὶ εἰς πολλὰ δείγματα τοῦ πετρώματος διὰ γυμνοῦ ὄφιθαλμοῦ.

Ὑπὸ τὸ μικροσκόπιον παρουσιάζει τὰ συνήθη ὀπτικὰ χαρακτηριστικὰ τοῦ ἀσβεστίτου καὶ πάντοτε πολυδυμίαν κατὰ (0112). Ἐπὶ πλέον ἐμφανίζει μίαν μᾶλλον διαδεδομένην διαξονικότητα, ἡ δοπία ὅμως δύναται νὰ παρατηρηθῇ μόνον εἰς καταλλήλως προσανατολισμένας τομάς, καθέτους πρὸς τὸν ὀπτικὸν ἀξονα, ἐπιτρεπούσας τὴν λῆψιν κωνοσκοπικῆς εἰκόνος. Τὸ μέγεθος τῆς γωνίας τῶν ὀπτικῶν ἀξόνων δὲν ὑπερβαίνει τὰς  $8^\circ$ , σπανιώτερον δὲ τὰς  $15^\circ$ . Τὸ φαινόμενον δὲν εἶναι ἄγνωστον εἰς Ἑλληνικὰ πετρώματα (ΜΑΡΑΤΟΣ 1960, ΤΑΤΑΡΗΣ 1960, ΑΝΔΡΟΝΟΠΟΥΛΟΣ 1962, ΠΑΠΑΔΑΚΗΣ 1965, ΣΑΠΟΥΝΤΖΗΣ 1969) καὶ ἀποδίδεται ὑπὸ τοῦ PAULITSCH (1950) εἰς τὴν ἐπίδρασιν πιέσεως ἐπὶ τοῦ δρυκτοῦ. Εἰς τὴν προκειμένην περίπτωσιν, καθ’ ἣν τὸ ὑπὸ μελέτην πέτρωμα οὐδεμίαν πίεσιν ὑπέστη μετὰ τὴν στρεσοποίησή του, ἀποδίδομεν τὸ φαινόμενον εἰς τὴν κατὰ τὴν ἀνάπτυξιν τοῦ προερχομένου ἐκ τῶν διαλυμάτων ἀσβεστίτου δημιουργουμένην πίεσιν λόγῳ στενότητος χώρου.

#### 5. Χαλαζίας.

Παρουσιάζεται μόνον ἐντὸς τῶν προαναφερθεισῶν φωλεῶν ἀσβεστίτου τοῦ πετρώματος ἢ ἀκόμη καὶ ἐντὸς τμημάτων προϋπαρχόντων δρυκτῶν (κεροστύλβης - αὐγίτου) ἐκτοπισθέντων ὑπὸ τοῦ ἀσβεστίτου. Εἶναι προφανές ὅτι προέρχεται καὶ αὐτὸς ἐκ τῶν ὑδροθερμικῶν διαλυμάτων, ὡς ἀποδεικνύει ἡ συγκρυστάλλωσίς του μετὰ τοῦ ἀσβεστίτου, ἀλλοστε πέτρωμα τοιαύτης συστάσεως εἶναι πολὺ δύσκολον νὰ περιέχῃ ἐλεύθερον χαλαζίαν. Δὲν παρουσιάζει ἴδιαίτερα χαρακτηριστικὰ πλὴν μιᾶς ἀρκετὰ διαδεδομένης καὶ ἰσχυρᾶς κυματοειδοῦς κατασβέσεως ἐρμηνευομένης ἀναλόγως, ὡς καὶ εἰς τὴν περίπτωσιν τοῦ παρομοίας προελεύσεως ἀσβεστίτου, τοῦ παρουσιάζοντος διαξονικότητα.

## 6. Ἐπίδοτον.

Εἶναι πάντοτε δευτερογενές, προεχόμενον ἐκ τῆς μετατροπῆς φεμικῶν ὀρυκτῶν, ὀλίγον διαδεδομένον. Δίδει τομὰς συνήθως ἀκανονίστους καὶ σπανιώτερον ἴδιομόρφους. Εἰς τὰς τελευταίας διακρίνεται ὁ σχισμὸς (001) καλὸς καὶ (100) μέτριος.

Ο πλεοχροϊσμὸς εἶναι  $n_{\alpha} = \text{ἄχρονος}$  ἥως ὑποκίτρινος  
 $n_{\beta} = \text{πρασινοκίτρινος}$   
 $n_{\gamma} = \text{πρασινοκίτρινος}$

Εἰς μίαν ἴδιομόρφον τομὴν μὲ σχισμὸν (001) ἐμετρήθη κατασβεστικὴ γωνία

$$\alpha : n_{\gamma} = 24^{\circ}.$$

## 7. Χλωρίτης.

Καὶ τὸ ὄρυκτὸν αὐτὸ ἀπαντᾶ ὡς δευτερογενές προϊὸν μετατροπῆς τῶν φεμικῶν συστατικῶν (κυρίως τῆς κεροστύλβης) ὑπὸ τὴν ἐπίδρασιν τῶν διαλυμάτων. Ἐμφανίζεται σχετικῶς σπανίως καὶ πάντοτε εἰς ἀκανονίστους τομὰς μὲ σαφῆ πλεοχροϊσμὸν

$n_{\gamma} = n_{\beta} = \text{ὑποπράσινον}$   
 $n_{\alpha} = \text{ἄχρονον}$

Η διπλοθλαστικότης του εἶναι ἀσθενεστάτη.

## 8. Ἀπατίτης.

Απαντᾶται εἰς ἴδιομόρφους μικροὺς ἐπιμήκεις κρυστάλλους μεγέθους μέχρι 0,2 χιλιοστομέτρων, συνήθως ὡς ἔγκλεισμα ἐντὸς τῆς κεροστύλβης. Σπανιώτερον εὑρίσκεται εἰς κατὰ πολὺ μεγαλυτέρους τῶν προηγουμένων αὐτοτελεῖς κρυστάλλους (3 χιλιοστομέτρων). Εἰς κρύσταλλον μάλιστα αὐτοῦ τοῦ μεγέθους παρετηρήθη τὸ φαινόμενον, καθ' ὃ τυῆμα αὐτοῦ ἀπεχωρίσθη δίκην παρασκύδος, εἰσχωρήσαντος τοῦ μάγματος ἐντὸς τοῦ ἐσωτερικοῦ τοῦ κρυστάλλου, εἰς τρόπον ὡστε νὰ ἐμφανίζηται οὕτος ὡς μαγματικῶς διαβρωθείς.

## 9. Μαγνητίτης.

Ἐμφανίζεται ἢ εἰς ἴδιομόρφους τομὰς ὡς ἔγκλεισμα ἐντὸς κεροστύλβης ἢ εἰς πολυαριθμούς μικρούς, μᾶλλον κανονικούς, κόκκους ἐγκατεσπαρμένους ἐντὸς τῆς ἀφανιτικῆς μάζης.

## 10. Σιδηροπυρίτης.

Ἐνρέθη εἰς ὀλίγας περιπτώσεις εἰς ἴδιομόρφους τομὰς ἐντὸς τῶν φωλεῶν συγκρυσταλλώσεως ἀσβεστίτου καὶ χαλαζίου, προφανῶς ὑδροθερμικῆς προελεύσεως. Πάντως ἡ ποσότης τῶν θειούχων συστατικῶν εἶναι γενικῶς μικρὰ διὰ νὰ παρατηρηθοῦν προπυλιτιωμένοι τύποι πετρωμάτων, οἵτινες παρατηροῦνται εἰς γειτονικὰς περιοχὰς (ΡΕΝΤΖΕΠΕΡΗΣ, 1956).

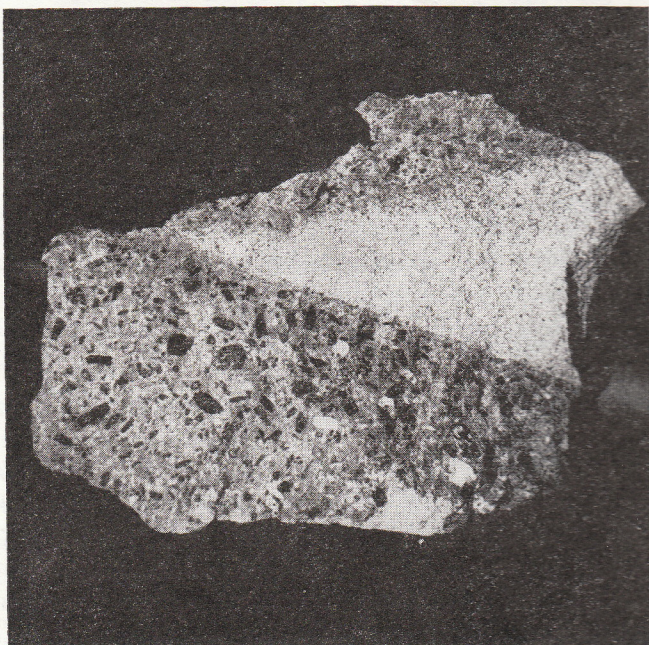
## 11. Λοιπὰ ὄρυκτά.

Πλὴν τῶν ἀνωτέρω παρετηρήθησαν εἰς ἀσημάντους ποσότητας τιτανίτης, ἔμενίτης, λευκόξενος, κλινοζοϊσίτης, σερπεντίνης, καιολίνης, ἀνευ ἴδιαιτέρας τινος σημασίας.

### Γ. ΠΕΤΡΟΓΡΑΦΙΑ

‘Ως ἐν ἀρχῇ ἐλέχθη, διάστος τοῦ πετρώματος εἶναι πορφυριτικός, πολλάκις λίαν τυπικός, ἔξι οὖ καὶ διαραγμένος αὐτοῦ ὡς ἡφαιστίτου. ‘Υπάρχουν δύμως περιπτώσεις, καθ’ ἃς οἱ κρύσταλλοι τῶν δρυκτῶν τῆς δευτέρας γενεᾶς κρυσταλλώσεως εἶναι περισσότερον ἀνεπτυγμένοι, ὥστε τὸ πέτρωμα νὰ παρουσιάζῃ, τούλαχιστον εἷς τινα δείγματα, τάσιν φλεβικῆς ἀναπτύξεως.

Ἐγκλείσματα ἐντὸς τοῦ πετρώματος δὲν εἶναι σπάνια. Τὰ ἔξωγενή ἀποτελοῦνται ἀπὸ τεμάχια τοῦ περιβάλλοντος τὸν ἡφαιστίτην πετρώματος (ψαμμίται, ἀργιλικοὶ



Εἰκ. 5. Ἐξωγενὲς ἔγκλεισμα ἐντὸς τοῦ ἡφαιστίτου συνιστάμενον ἐκ ψαμμίτου. Εἰς τὸ ἡφαιστειακὸν πέτρωμα διακρίνονται σαφῶς οἱ φαινοκρύσταλλοι τῆς κεροστίλβης.

σχιστόλιθοι) (Εἰκ. 5), ἐνῷ τὰ ἐνδογενῆ ἔγκλεισματα εἶναι τμῆματα τοῦ πετρώματος ἐμπλουτισμένα συνήθως εἰς φεμικὰ δρυκτὰ καὶ δὴ κεροστίλβην.

Ἡ ἑκατόστιαία δρυκτολογική σύστασις τοῦ πετρώματος διαφέρει ἀπὸ δείγματος εἰς δεῖγμα. Ἐπίσης παρατηροῦνται σημαντικαὶ διαφοραί, ὡς πρὸς τὴν συμμετοχὴν τοῦ ἐκ τῶν ὑστέρων σχηματισθέντος ἀσβεστίτου, ἀπὸ τελείας ἐλλείψεως τούτου μέχρι 10 %, κατὰ μέγιστον. Πρὸς ἀκριβῆ προσδιοισμὸν τῆς ἑκατόστιαίας δρυκτολογικῆς συστάσεως ἐγένοντο 6 μετρήσεις διαφόρων δειγμάτων διὰ τῆς ἐμβαδομετρικῆς τραπέζης. Τὰ ἀποτελέσματα τῶν μετρήσεων αὐτῶν περιλαμβάνονται εἰς τὸν πίνακα I.

## Π Ι Ν Α Ε Ι

‘Εκατοστιαία δρυκτολογική σύστασις δειγμάτων του πετρώματος.

Αριθ. παρ/τος . . .	3	22	23	ΓΘ	ΧΑ	αδ
Αφαν. μάζα . . .	50,70	35,97	44,30	45,75	55,56	40,89
Πλαγιόκλαστα . . .	22,83	35,36	38,26	19,92	19,36	23,26
Κεροστίλβη . . .	17,83	11,57	11,64	20,82	14,63	22,05
Ανγίτης . . . .	6,71	15,46	4,45	—	4,18	—
Ασβεστίτης . . .	—	—	—	8,92	—	10,04
Επίδοτον, Χλωρίτης .	—	—	—	—	1,67	0,30
Μαγνητίτης, έπουσιώδη	1,93	1,64	1,35	4,59	4,60	3,46
Σ ύ ν ο λ ο ν . . .	100,00	100,00	100,00	100,00	100,00	100,00

Λαμβανομένου ύπ' ὄψιν του ποσοστοῦ συμμετοχῆς εἰς τὴν σύστασιν του πετρώματος τῆς ἀφανιτικῆς μάζης, ὡς καὶ τοῦ γεγονότος ὅτι αὕτη συνίσταται κατὰ μέγα μέρος ἐκ πλαγιοκλάστων, ἔξαγεται τὸ συμπέρασμα, ὅτι τὸ ποσοστὸν τῶν φεμικῶν συστατικῶν εἶναι μικρότερον τοῦ 50 %. Δεδομένου δὲ τὰ πλαγιόκλαστα ἀνήκουν εἰς τὴν τάξιν τοῦ λαβραδοφίου — βυτωβρίτου, θὰ ἡδύνατο νὰ χαρακτηρισθῇ ἡ ἀντίστοιχος πλουτώνειος φάσις τοῦ πετρώματος ὡς κεροστίλβικὸς γάρβρος (TRÖGER, 1935) ἢ λεπτομερέστερον ὡς κεροστίλβικὸς λευκογάρβρος (RONNER, 1963). Εἰς τὴν πρώτην περίπτωσιν δὲν ἀναφέρεται εὑρεθὲν τυπικὸν ἀντίστοιχον ἔχοντον πέτρωμα. Εἰς τὴν δευτέραν περίπτωσιν, ὅπου ἐπίσης δὲν ἀναφέρεται εὑρεθεὶς ἀντίστοιχος ἡφαιστίτης, δύναται θεωρητικῶς νὰ χαρακτηρισθῇ τὸ ὑπὸ μελέτην πέτρωμα ὡς λευκοαμφιβολικὸς βασάλτης (Leukoamphibolbasalt). Τέλος κατὰ STRECKEISEN (1964), ὅστις ἐπίσης δέχεται τὴν πλουτώνειον φάσιν ὡς λευκογάρβρον, θὰ ἔχαρακτηρίζετο θεωρητικῶς τὸ πέτρωμα τοῦτο ἀντιστόχως ὡς λαβραδορικὸς ἀνδεσίτης. Σημειώτεον ὅτι ὁ κατὰ TRÖGER (1935) ἀναφερόμενος λαβραδορικὸς ἀνδεσίτης διαφέρει κατὰ τὴν δρυκτολογικὴν σύστασιν τοῦ ἐνταῦθα ἔξεταζομένου, ὡς ἐπίσης καὶ κατὰ τὸν χημισμὸν (dioritisch, ἐνῶ ἐνταῦθα rytorxengabbroïd βλ. περαιτέρω).

Εἰς δὲ τὸ ἀφορᾶ τὴν μετασωμάτωσιν ὠρισμένων ἐμφανίσεων τοῦ ἐν λόγῳ πετρώματος αὕτη ἀναφέρεται κυρίως εἰς τὴν ἐπίδρασιν ὑδροθερμικῶν φαινομένων, καθ' ἣνχομεν σχηματισμὸν νέων δρυκτῶν, ὡς λεπτομερῶς εἰς τὴν περιγραφὴν ἐκάστου ἐλέχθη.

## Δ. ΠΕΤΡΟΧΗΜΙΚΑΙ ΠΑΡΑΤΗΡΗΣΕΙΣ

Πρὸς τὸν σκοπὸν τῆς μελέτης τοῦ χημισμοῦ τοῦ πετρώματος ἐγένετο χημικὴ ἀνάλυσις δείγματος αὐτοῦ, τὸ ὅποιον ἐπελέγη καταλλήλως ὥστε νὰ στερηται τῶν προαναφερθέντων ὀφθαλμῶν τοῦ ἐκ τῶν ὑστέρων σχηματισθέντος ἀσβεστίτου, τὰ δὲ φεμικὰ συστατικά του, ὡς καὶ τὰ πλαγιόκλαστα νὰ εἶναι τελείως ἀναλλοίωτα. Τὰ ἀποτελέσματα τῆς ἀναλύσεως συνοψίζονται εἰς τὸν κάτωθι πίνακα:

Π Ι Ν Α Ζ ΙΙ

Χημική άνάλυσης δείγματος του πετρώματος.

SiO <sub>2</sub>	47,69
Al <sub>2</sub> O <sub>3</sub>	18,19
Fe <sub>2</sub> O <sub>3</sub>	3,71
FeO	6,64
MnO	0,19
MgO	5,12
CaO	12,27
Na <sub>2</sub> O	1,25
K <sub>2</sub> O	0,97
TiO <sub>2</sub>	1,41
P <sub>2</sub> O <sub>5</sub>	0,22
+H <sub>2</sub> O	2,09
Σύνολον	99,75

Αναλυτής: K. Κωνσταντίνου

\*Επί τῇ βάσει τῶν δεδομένων τούτων ὑπελογίσθησαν αἱ τιμαὶ Niggli ὡς ἀκολούθως:

Π Ι Ν Α Ζ ΙΙΙ

Τιμαὶ Niggli του πετρώματος.

si	114
al	25,8
fm	38,4
c	31,5
alk	4,3
ti	2,6
p	1,0
k	0,33
mg	0,47
qz	— 3
al — alk	21,5
2alk/al + alk	0,29
μάγμα	pyroxengabbroid

Βάσει τῶν τιμῶν του πίνακος III δυνάμεθα νὰ χαρακτηρίσωμεν τὸν πετρογραφικὸν τύπον τῆς ὑπὸ μελέτην ἐμφανίσεως ὡς ἔξῆς κατὰ BURRI (1959). Μάγμα ἀσθενῶς φεμικόν, σχετικῶς πτωχὸν εἰς ἀλκάλεα, πλούσιον εἰς ἀσβέστιον. Πετρογραφικὴ ἐπαρχία: Εἰρηνικοῦ τύπου.

Ἐκ τῶν τιμῶν τῶν χημικῶν ἀναλύσεων τοῦ πίνακος II ὑπελογίσθησαν αἱ τιμαὶ μεγεθῶν τῆς βάσεως ὡς κατωτέρω (πίναξ IV):

ΠΙΝΑΞ ΙV

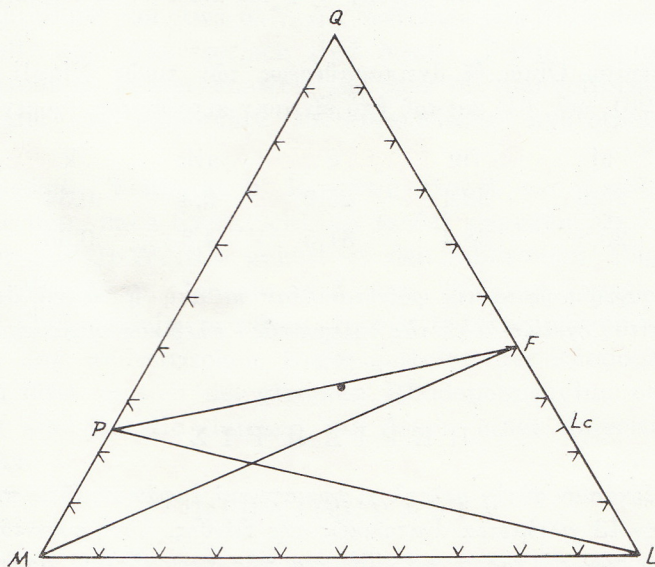
Q	Kp	Ne	Cal	Cs	Fs	Fo	Fa	Ru	Cp
32,9	3,7	7,0	25,8	5,8	4,0	11,0	8,3	1,0	0,5

<sup>7</sup> Εκ τῶν δεδομένων τοῦ πίνακος IV προκύπτουν αἱ ἀκόλουθοι τιμαὶ μεγεθῶν Q, L, M, π, γ, μ (πίναξ V):

ΠΙΝΑΞ Β

$$\begin{array}{ccccccc} Q & L & M & \pi & \gamma & \mu \\ 36,5 & 30,6 & 32,9 & 0,71 & 0,20 & 0,23 \end{array}$$

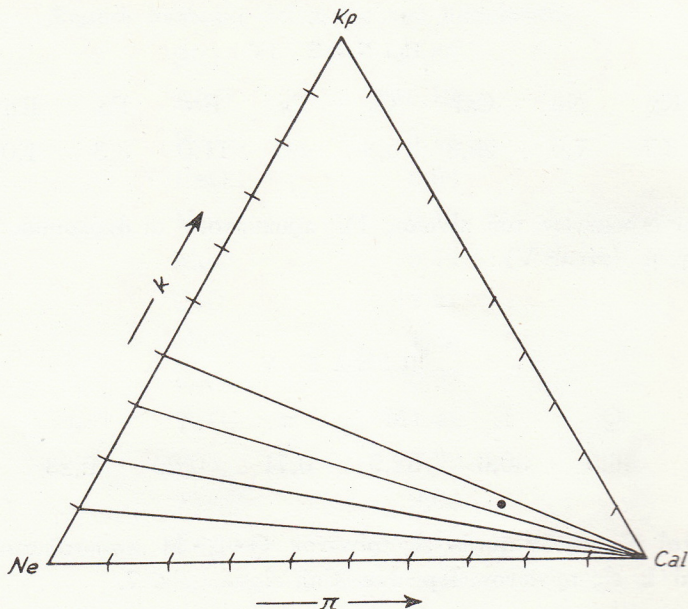
Προβολαὶ τῶν τιμῶν αὐτῶν εἰς τοίγωνον Ζ - Λ - Μ παριστῶνται εἰς τὴν εἰκ. 6 καὶ τῶν π καὶ κ εἰς τοίγωνον Κρ - Νε - Καλ εἰς τὴν εἰκ. 7.



Εἰς. 6. Προβολὴ τῶν μεγεθῶν  $Q$ ,  $L$ ,  $M$  τοῦ ἀναλυθέντος δείγματος.

Συγκρίνοντες τὰς τιμὰς Niggli, ὡς καὶ τὰς ἄλλας πετροχημικὰς σταθεράς, μὲ τὰς ἀντιστοίχους τῶν βορειότερον παρατηρουμένων μεγάλων ἡφαιστειακῶν ἐκχύσεων (SOLDATOS, 1961) παρατηροῦμεν κατ’ ἀρχήν, ὅτι δὲ χημισμὸς τοῦ ὑπὸ ἔξετασιν πετρώματος ἀποκλίνει σημαντικῶς ἐκ τῆς μεγάλης μάζης αὐτῶν, παραμένων πάντως εἰς τὴν

αὐτὴν πετρογραφικὴν ἐπαρχίαν, εἰρηνικοῦ τύπου, τὴν ἐπαρχίαν Ροδόπης. Ἐν τούτοις ἐν παραλληλισμῷ πρὸς τὰς δολεριτικὰς ἐμφανίσεις τῆς περιοχῆς ταύτης παρουσιάζει



Εἰκ. 7. Προβολὴ τῶν μεγεθῶν  $\pi$ , κ τοῦ ἀναλυθέντος δείγματος.

ώρισμένας διμοιότητας. Οὕτω, ἐξ ἀντιπαραθέσεως τῶν τιμῶν Niggli ἐνὸς δολερίτου (SOLDATOS, 1961, σελ. 64) καὶ τοῦ ὑπὸ ἐξέτασιν πετρώματος, ἔχομεν:

si	al	fm	c	alk	k	mg
118	25,6	39,1	25,9	9,4	0,34	0,46
114	25,8	38,4	31,5	4,3	0,33	0,45

Ἐκ τῆς συγκρίσεως ταύτης φαίνεται λίαν πιθανὴ ἡ ἐκδοχή, ὅτι τὸ μάγμα τοῦ παρόντος ἥφαιστίτου σχετίζεται μὲ τὰς δολεριτικὰς - φλεβικὰς ἐμφανίσεις τῆς Ροδόπης.

### Π Ε Ρ Ι Λ Η Ψ Ι Σ

Εἰς τὴν ἐργασίαν αὐτὴν μελετᾶται ἥφαιστειακὴ ἐμφάνισις, ἥτις παρετηρήθη παρὰ τὸ χωρίον Σούνιον 13 χιλιόμετρα ἀνατολικῶς τῆς Ξάνθης. Αὕτη συναντᾶται ὑπὸ μορφὴν φλεβῶν, διακοπτουσῶν τὰ παλαιογενῆ ἵζματα τῆς περιοχῆς. Ὁ χαρακτηρισμὸς τοῦ πετρώματος, ὡς ἥφαιστειακοῦ, ἐγένετο ἐπὶ τῇ βάσει τοῦ ἴστοῦ αὐτοῦ. Τοῦτο ἔχει ὡς κύρια συστατικὰ κεροστίλβην, ὡχι σπανίως εἰς μεγάλους φαινοκρυστάλλους, καὶ πλαγιόκλαστα, τῶν ὅποιων οἱ φαινοκρύσταλλοι εῖναι Βυτωβνίτης (περίπου 80% An), ἐνῷ οἱ μικρόλιθοι τῆς ἀφανιτικῆς μάζης Λαζραδόριον (περίπου 65% An). Ἐπουσιωδῶς ἀπαντᾶται Αύγίτης, ὡς καὶ εἰς μικρότερα ἀκόμη ποσὰ Τιτανίτης, Απατίτης, Μαγνητίτης, Χλωρίτης, Ἐπίδοτον. Ὅποιοι μορφὴν ὑδροθερμικῶν διαποτίσεων συναντῶνται κυρίως Ασβεστίτης, Χαλαζίας καὶ διάλιγος Σιδηροπυρίτης, δρυκτὰ τὰ ὅποια παρουσιάζονται εἴτε

άνπο μορφήν δρθαλμῶν, εἴτε κατὰ φευδομορφώσεις ἄλλων φεμικῶν δρυκτῶν, ὡς ἐπὶ τὸ πλεῖστον κεροστίλβης. Ἡ ἀφανιτικὴ μᾶζα εἶναι συνήθως μικροκρυσταλλική. Τὸ πέτρωμα ἀνήκει εἰς τὴν οἰκογένειαν τῶν λευκογάζθρων, χαρακτηρούμενον ὡς λευκοαμφιβολιβασάλτης (RONNER, 1963) ή λαβραδορικὸς ἀνδεσίτης (STRECKEISEN, 1964). Τὸ ἀντίστοιχον μάγμα εἶναι pyroxengabbroïd (εἰρηνικοῦ τύπου) ἀνῆκον εἰς τὴν ἐπαρχίαν Ροδόπης (SOLDATOS, 1961). Τὸ πέτρωμα ἀποκλίνει τῶν βορειότερον παρατηρουμένων μεγάλων ρυολιθικῶν καὶ ἀνδεσιτικῶν ἔκχυσεων, δμοιάζον ἐν τούτοις κατὰ τὰς τιμὰς Niggli πρὸς δολερίτην τῆς περιοχῆς ταύτης.

### Z U S A M M E N F A S S U N G

Östlich der Stadt Xanthi (Rhodopen, Thrazien - Griechenland) in der Umgebung des Dorfes Sounion (13 km von Xanthi) treten gangförmig magmatische Gesteine auf, welche die Sedimente des Paläogens durchbrechen. Aufgrund ihrer porphyritischen Struktur und der meist feinkörnigen Grundmasse werden sie als Vulkanite bezeichnet, obwohl sie geologisch nicht typische Ergussgesteine sind. Makroskopisch betrachtet weisen viele dieser Gesteine ziemlich grosse idiomorphe Hornblende - Einsprenglinge auf. Die Hornblende ist braun und gehört der Titanhaltigen Pargasit - Hastingsit Reihe an. Als zweites Hauptbestandteil kommt Plagioklas vor. Die Plagioklas - Einsprenglinge sind Bytownite von etwa 80 % An, während die Mikrolithe der Grundmasse aus Labradore von etwa 65 % An bestehen. Als Nebenbestandteile treten Augit - Kristalle auf. Akzessorisch sind Apatit, Titanit, Epidot, Chlorit und Erze zu beobachten. Bemerkenswert ist, dass oft mandelförmige Calcit- bzw Quarz - Kristalle als sekundäre metasomatische hydrothermale Produkte erscheinen.

Das Gestein kann nach RONNER (1963) als Leukoamphibolbasalt bezeichnet werden, nach STRECKEISEN (1964) dagegen als Labradorandesit. Aufgrund der Niggli-Werten gehört es den gabbroiden Magmen (pyroxengabbroïd, pazifisch) an. Jedoch wird von TRÖGER (1935) kein ähnliches Erguss- bzw Ganggestein erwähnt. Es ist unterschiedlich von den grossen liparitischen bzw andesitischen Ergussgesteine der Rhodopen (SOLDATOS, 1961), jedoch lässt es sich der gleichen Rhodopenprovinz einzuordnen. Die Niggli-Werte sind fast die gleichen mit denen eines doleritischen Gesteins dieser Provinz.

### B I B L I O G R A F I A

- ΑΝΔΡΟΝΟΠΟΥΛΟΣ, Β. 1962.—Γεωλογικὴ κατασκευὴ τῆς νοτίου Εύβοίας. *Γεωλογικὰ καὶ Γεωγραφικὰ μελέται Ι.Γ.Ε.Υ.*, VII, No 4, Ἀθῆναι.
- BURRI, C. 1959.—Petrochemische Berechnungsmethode auf äquivalenter Grundlage. Basel.
- BURRI, C., PARKER, R. und WENK, E. 1967.—Die optische Orientierung der Plagioklase. Birkhäuser. Basel.
- DEER, HOWIE and ZUSSMAN 1963.—Rock-forming minerals. II, London.
- DIMITROW, T. 1955.—Bemerkungen über das Pluton bei Xanthi am Südrand der Rhodopen (Bulgarisch mit. Deut. Zus.). *Annuaire de l'Université de Sofia. Faculté de Biol. Geog.*, XLIX, Livre 2, Geologie.

- ΙΝΣΤΙΤΟΥΤΟΝ ΓΕΩΛΟΓΙΑΣ ΚΑΙ ΕΡΕΥΝΩΝ ΥΠΕΔΑΦΟΥΣ (Ι.Γ.Ε.Υ.), 1954.— Γεωλογικός χάρτης τῆς 'Ελλάδος 1 : 500.000. 'Υπουργεῖον Συντονισμοῦ, 'Αθῆναι.
- ΜΑΡΑΤΟΣ, Γ. 1960.— Οι διφειόλιθοι τῆς περιοχῆς Σουφλίου (διατριβὴ ἐπὶ διδακτορίᾳ). *Γεωλογ. καὶ Γεωφυσ. μελέται*, VI, No 2, Ι.Γ.Ε.Υ., 'Αθῆναι.
- ΠΑΠΑΔΑΚΗΣ, Α. 1965.— 'Ο πλουτωνίτης τῆς περιοχῆς Σερρῶν - Δράμας. *Διδακτορικὴ διατριβὴ. Πανεπ. Θεσγύνης.*
- PAULITSCH, P. 1950.— Zweiaachsige Calcite und Gefügeregelung. *Tschermaks Min. und Petr. Mitt.*, 2, pp. 180 - 197.
- ΡΕΝΤΖΕΠΕΡΗΣ, Π. 1956.— Οι τριτογενεῖς ἡφαιστῖται τοῦ νομοῦ "Εβρου. *Διδακτορικὴ διατριβὴ. Πανμιον Θεσγύνης.*
- ΡΟΝΝΕΡ, F. 1963.— Systematische Klassifikation der Massengesteine. Wien.
- ΣΑΠΟΥΝΤΖΗΣ, Η. 1969.— Πετρογραφία καὶ γεωλογικὴ τοποθέτησις τῶν πρασίνων γνευσίων τῆς Θεσγύνης. *Διδακτ. διατρ. Πανμιον Θεσγύνης.*
- SOLDATOS, K. 1961.— Die jungen Vulkanite der griechischen Rhodopen und ihre provinziellen Verhältnisse. *Vulk. Inst. Imm. Friedlän.*, Zürich.
- STRECKEISEN, A. 1964.— Zur Klassifikation der Eruptivgesteine. *Neues Jarb. f. Min. Monatshefte*, pp. 195 - 222.
- ΤΑΤΑΡΗΣ, Α. 1960.— Αἱ φλεβικαὶ ἔκρηκτιγενεῖς ἐμφανίσεις καὶ ἡ μεταλλογένεσις εἰς τὸ 'Ανατ. Πήλιον. *Γεωλ. καὶ Γεωφυσ. μελέται* I.G.E.Y., VI, No 4, 'Αθῆναι.
- TRÖGER, W. E. 1935.— Spezielle Petrographie der Eruptivgesteine. Berlin.
- » » 1956.— Optische Bestimmung der gesteinsbildenden Minerale. (Bestimmungstabellen). Stuttgart.
- » » 1967.— Optische Bestimmung der gesteinsbildenden Minerale. Stuttgart.

## AVIS DE LA RÉDACTION

---

La revue publie les mémoires, notes et documents concernant la Géologie des Pays Helléniques.

Les manuscrits destinés à la Revue doivent être adressés, dans leur forme définitive et de préférence dactylographiés, à la Direction de la Revue.

La Revue n'est pas solidaire des opinions émises par les auteurs des mémoires insérés.

Les auteurs ont droit à 50 exemplaires d'un tirage spécial de leur article. Ceux qui désireraient recevoir un nombre plus élevé devront en faire la demande à la Direction avant l'impression.

Pour tous renseignements, au sujet de la Revue, y compris achats, abonnements, échanges, etc., s'adresser à M. Georges P. Marinos, Professeur de Géologie et Paléontologie à l'Université, 46, Bd. Franklin Roosevelt, Athènes.